

دراسة إمكانية حذف أثر انكسار الأشعة على قياسات الزوايا الشاقولية

الدكتور منير يحيى*

الدكتور إياد فحصة**

(ورد إلى المجلة في 1999/9/25، قبل للنشر في 1999/12/19)

□ الملخص □

يتطرق البحث لموضوع التأثير السلبي للانكسار الشاقولي للأشعة في دقة قياس الزوايا الشاقولية، ويحد ذلك من استخدام هذا النوع من القياسات الجيوديزية ضمن شبكات المراقبة القياسية للمنشآت الهندسية الكبيرة.

يقترح البحث طريقتين للتخلص من تأثير هذا النوع من الانكسار، بهدف الاستفادة من هذه القياسات (الزوايا الشاقولية) في شبكة المراقبة القياسية المنفذة من قبلنا، ضمن حرم سد السادس عشر من تشرين. ولقد أعطت الطريقتان نتائج إيجابية تسمح بتعميمها للاستخدام ضمن الشبكات المماثلة.

* مدرس في قسم الهندسة الطبوغرافية -كلية الهندسة المدنية - جامعة تشرين - اللاذقية - سورية.
** مدرس في قسم الهندسة الطبوغرافية -كلية الهندسة المدنية - جامعة تشرين - اللاذقية - سورية.

Studying of the Possibility of Elimination the Reflective Rays Effects on the Vertical Angles Measurements

Dr. M. YAHYA *

Dr. I. FAHSA **

(Received 25/9/1999, Accepted 19/12/1999)

□ ABSTRACT □

Our research deals with the negative effect of the vertical reflection of rays on the accuracy of the vertical angles measurement (V.A.M) . This will limit the use of this geodetic measurement in the three - dimensional control networks of big structures establishment .

We proposed two new methods to avoid that reflective effective effect on our measurements in the (16-October) - dam . These new methods gave us positive results that can be used with other similar networks .

* Lectuer at the departement of Geodesy Engineering, Faculty of Civil Engineering, Tishreen University, Lattakia, Syria.

** Lectuer at the departement of Geodesy Engineering, Faculty of Civil Engineering, Tishreen University, Lattakia, Syria.

1 - مقدمة:

من الضروري أن نوضح مفهوم الزاوية الشاقولية التي ستكون محور اهتمامنا، نقصد بالزاوية الشاقولية تلك الزاوية المحصورة بين خط الرصد (الخط المستقيم المنطلق من عين الراصد إلى النقطة المرصودة) ومسقطه على المستوي الأفقي المار من نقطة المرصد.

يثير موضوع استخدام الزوايا الشاقولية في الشبكات الدقيقة ثلاثية الأبعاد شكوكاً عديدة؛ تتج هذه الشكوك من الرأي القائل، بأن تأثير الانكسار الشاقولي لشعاع الرصد يخفض من دقة قياس هذه الزوايا. لذا يجب دراسة هذا التأثير واستنتاج الطرق المناسبة للتقليل من أثر هذا الانكسار في إمكانية استخدام الزوايا الشاقولية، ضمن خطة القياس في الشبكات الدقيقة ثلاثية الأبعاد.

في بحثنا الحالي سنعمد معادلة تصحيح الزاوية الشاقولية المعطاة في المرجع [1] والتي تأخذ

الصيغة التالية:

$$V_{\beta_{ij}} = a.dx_i + b.dy_i - c.dz_i - a.dx_j - b.dy_j + c.dz_j + (\beta_{ij}^o - \beta_{ij}^{ob}) \quad (1)$$

والثوابت هي :

$$a = \frac{x_j^o - x_i^o}{D_{ij}^{o^2}} .tg\beta_{ij}^o, \quad b = \frac{y_j^o - y_i^o}{D_{ij}^{o^2}} .tg\beta_{ij}^o, \quad c = \frac{1}{D_{ij}^o} \cos \beta_{ij}^o$$

حيث:

i : نقطة المرصد، j نقطة المرصودة

X_o, Y_o, Z_o : الإحداثيات التقريبية للنقاط المحددة للزاوية الشاقولية

D_{ij}^o : القيمة التقريبية للمسافة المائلة بين النقطتين i, j

β_{ij}^o : القيمة التقريبية للزاوية الشاقولية وتحسب من الإحداثيات التقريبية باستخدام القانون:

$$\beta_{ij}^o = \arctg \frac{z_j^o - z_i^o}{D_{ij}^{o^2}} \quad (2)$$

β_{ij}^{ob} : القيمة المقيسة للزاوية الشاقولية.

تعطي المراجع المختصة ومن بينها [1,2,3,4,5,6,7,8,9] طرقاً عديدة لحساب قيمة معامل الانكسار

الشاقولي. فيمكن تعداد بعض هذه الطرق كما يلي:

– القياس المتزامن للزوايا الرأسية.

– الاستفادة من فرق ارتفاع معلوم.

– الاستفادة من قياسات بعض الظواهر الجوية.

– الاستفادة من ظاهرة انتشار الأمواج الكهرومغناطيسية.

تبين المراجع المختصة المذكورة أعلاه، أن دقة حساب قيمة معامل الانكسار K، باستخدام هذه

الطرق متدنية، وأن قيمة الخطأ النسبي لحسابه قد تبلغ (60-70)%، وخصوصاً في المرجع [1] كما نلاحظ

أن القوانين المعطاة لحساب قيمته، بالاعتماد على معرفة الظروف الجوية المحيطة بالمرصد، لا تفني بالدقة

المطلوبة في القياسات الجيوديزية ضمن الشبكات الدقيقة.

من المفضل إذاً في المسائل الجيوديزية استخدام طرق خاصة لقياس الزوايا الشاقولية، بحيث يمكن

التقليل إلى حد كبير من أثر انكسار الأشعة في نتائج القياسات، ومن ثم اعتبار هذا التأثير مهملًا. ويعتبر شرط

التخلص من أثر الانكسار شرطاً هاماً، من أجل ضم قياسات الزوايا الشاقولية إلى نظام القياسات المنفذة ضمن الشبكة الفراغية.

2 - عرض بعض طرق حذف أثر الانكسار في قياسات الزوايا الشاقولية:

من بين هذه الطرق نذكر تلك المبينة في [4،1]. تعتمد الطريقة على إضافة حد خاص إلى معادلة تصحيح الزاوية الشاقولية المقيسة، ويرتبط هذا الحد بمعاملات الانكسار بحيث تصبح الصيغة العامة لمعادلة التصحيح:

$$V\beta_{ij} = d\beta_{ij} + \frac{\partial_i}{k_i} dk_i + l\beta_{ij} \quad (3)$$

حيث:

∂_i : زاوية الانكسار الشاقولي لخط الرصد من المرصد i .

k_i : معامل الانكسار المقبول عند المرصد i .

dk_i : تصحيح لمعامل الانكسار، ويتم حسابه بالمعالجة الرياضية للقياسات.

يبين التقييم السريع للطريقة السابقة عدداً من الثغرات؛ فهي تؤدي إلى زيادة كبيرة غير مرغوبة في عدد المجاهيل المطلوب تعيينها بالمعالجة الرياضية للقياسات. كما لا يمكن اعتماد قيمة موحدة لتغيرات قيم معامل الانكسار عند كل مرصد، لأن ذلك سيكون منافياً للواقع بسبب تغيرات الظروف الجوية والطبوغرافية بين النقاط المرصودة. وهذا سيؤدي في الحالة الحدية إلى تعيين قيمة dk عند كل قياس، ومن ثم ازدياد عدد المجاهيل عن عدد القياسات، بحيث تصبح جملة معادلات التصحيحات مستحيلة الحل.

أدت السلبات السابقة إلى اعتماد طرق قياس خاصة للزوايا الشاقولية، تسمح هذه الطرق بحذف أثر الانكسار الشاقولي في القياسات قبل مرحلة المعالجة الرياضية، أو تسمح بإيجاد قيمة معامل الانكسار، ثم حساب أثر الانكسار في كل شعاع رصد، واختزال القياسات قبل معالجتها. من ضمن هذه الطرق يمكن ذكر الطريقة الأكثر استخداماً؛ وهي طريقة لازاريني.

تعتمد طريقة العالم لازاريني على قاعدة القياسات المتزامنة أو شبه المتزامنة، لقياس الزاويتين الشاقوليتين فوق المرصدين المحددين لخط الرصد. تعطى المراجع المختلفة [9،8،3] قانون إيجاد معامل الانكسار الشاقولي عند النقطتين A و B المبينتين بالشكل (1) كما يلي:

$$\begin{aligned} K_A = \frac{r}{R_A} = \frac{2r \sin \partial_A}{D} & : \sin \partial_A = \frac{1}{2} \cdot \frac{D}{R_A} \\ K_B = \frac{r}{R_B} = \frac{2r \sin \partial_B}{D} & : \sin \partial_B = \frac{1}{2} \cdot \frac{D}{R_B} \end{aligned} \quad (4)$$

حيث:

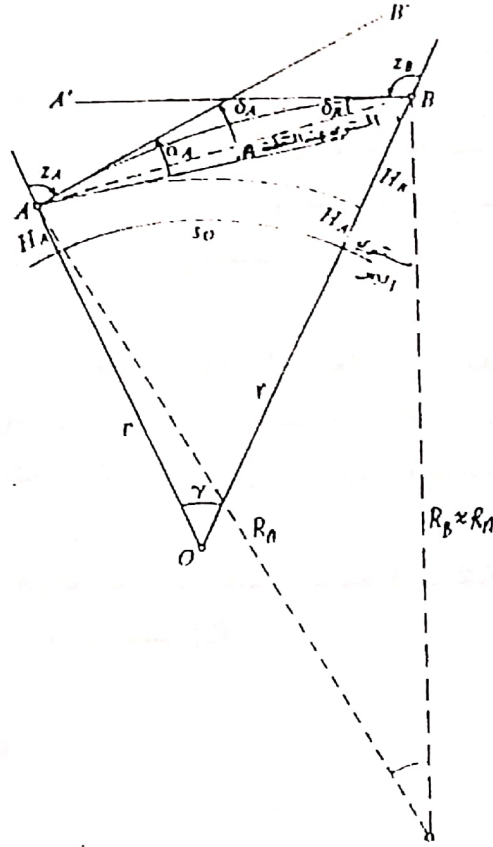
r : نصف قطر الكرة الأرضية.

R_A, R_B : نصف قطر منحنى الانكسار عند النقطتين A و B.

K_A, K_B : معامل الانكسار الشاقولي عند النقطتين A و B.

D: المسافة المائلة AB.

δ_A, δ_B : زاويتا الانكسار الشاقولي عند النقطتين A, B



الشكل (1) يبين حالة القياس المتزامن للزاويتين الرأسيتين.

نحصل من العلاقتين (4) على:

$$\partial_A = \frac{D.K_A}{2.r}, \partial_B = \frac{D.K_B}{2.r} \quad (5)$$

وذلك باعتبار أن الزاويتين ∂_B, ∂_A صغيرتان، بحيث يمكن قبول:

$$\sin \partial_A \cong \partial_A (\text{Radian})$$

$$\sin \partial_B \cong \partial_B (\text{Radian})$$

في طريقة البروفيسور لازاريني يتم اعتماد المساواة:

$$K_A = K_B = K \quad (6)$$

ومنه نجد أن:

$$\partial_A = \partial_B = \partial$$

من دراسة الطريقة السابقة، نلاحظ أن تطبيق القياسات المتزامنة للزاويا يشكل مشكلة في حد ذاته؛ لأن ذلك يتطلب استخدام أكثر من جهاز واحد من قبل أكثر من راصد واحد في الوقت نفسه. ومن ناحية أخرى، بالنظر إلى طبيعة القياسات في بعض الشبكات الجيوديزية، من غير الممكن تركيز الجهاز الجيوديزي فوق كل نقاط الشبكة (مثلاً: فوق النقاط المرصودة ضمن شبكة المراقبة القياسية)؛ لذا من أجل حذف أثر الانكسار الشاقولي في قياسات الزوايا الشاقولية، يجب التفكير بطرق أخرى ملائمة للهدف من هذا البحث،

وهو باختصار: اختزال الزوايا الشاقولية المقيسة قبل مرحلة المعالجة الرياضية، بحيث يمكن استخدام هذه القياسات ضمن الشبكات الجيوديزية ثلاثية الأبعاد.

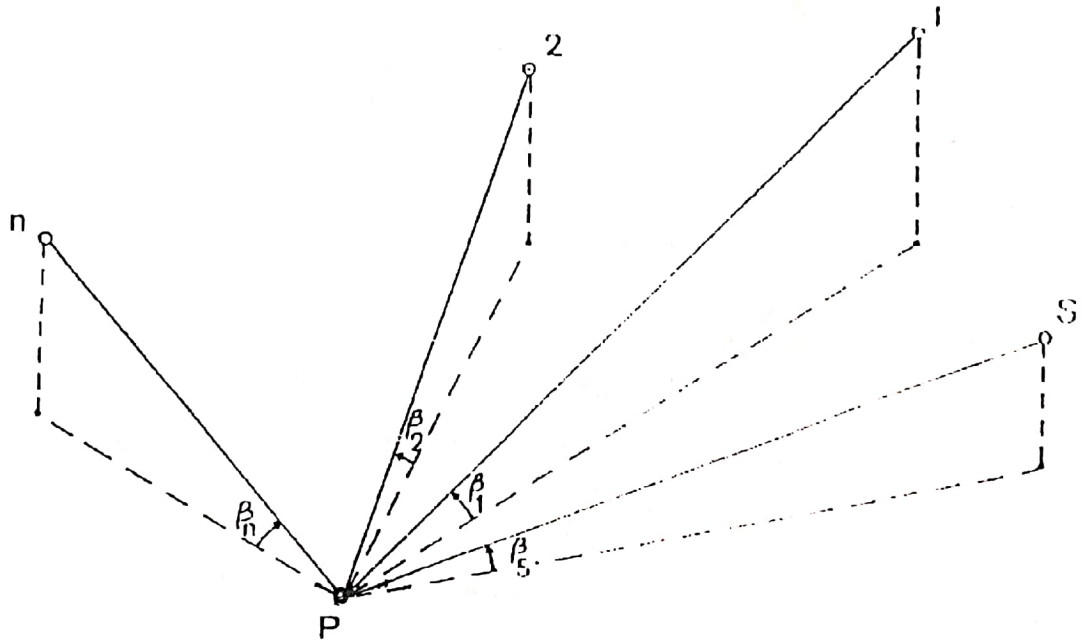
3 - عرض الطرق المقترحة لاختزال الزوايا الشاقولية:

في البداية لا بد من القول: إن الطريقتين المقترحتين تصلحان للاستخدام في تلك الحالات، عندما لا توجد إمكانية تنفيذ القياسات المتزامنة للزوايا الشاقولية. وتم اختبار الطريقتين ضمن شبكة المراقبة القياسية المصممة لمراقبة سد السادس عشر من تشرين في محافظة اللاذقية.

3 - 1 - الطريقة الأولى:

نفترض هنا أن خطة القياسات ضمن الشبكة ثلاثية الأبعاد، تتضمن تنفيذ قياسات للزوايا الشاقولية وقياسات التسوية الهندسية الدقيقة. يتطلب هذا الافتراض تصميم الشبكة بحيث تحقق متطلبات المنشأة المرصودة، إضافة إلى تحقيق الشروط الناتجة عن الطريقة المقترحة، والمتعلقة بإيجاد التصحيحات الاختزالية المرتبطة بالانكسار العمودي لخطوط رصد الزوايا الشاقولية.

نفترض أن النقطة P هي المرصد الذي نقيس عنده الزوايا الشاقولية نحو النقاط (S, 1, 2, ..., n) كما يظهر في الشكل (2).



الشكل (2) يبين خطة قياس الزوايا الشاقولية عند المرصد P.

وفي الوقت نفسه نقوم بقياسات التسوية الهندسية الدقيقة بين النقطتين P و S. تعتمد الطريقة المقترحة لتحديد التصحيحات الانكسارية للزوايا الشاقولية المقيسة على الفرضيات

التالية:

1 - تمر جميع خطوط الرصد من النقطة P إلى النقاط المرصودة ضمن ظروف طبوغرافية متشابهة. ويمكن تحقيق هذه الفرضية من خلال التصميم المناسب للشبكة، ويمكن أيضاً تصنيف الزوايا الشاقولية المقيسة ضمن مجموعات تتشابه عند كل منها الظروف الطبوغرافية.

2 - تقاس الزوايا الشاقولية في الوقت نفسه تقريباً نحو جميع النقاط ضمن المجموعة الواحدة (المحددة في الفرضية السابقة)، وبالعدد المحدد من دورات القياس، وبالوضعيتين الأولى والثانية للنظارة المساحية. ثم يجري لكل مجموعة من القياسات العمليات التالية:

أولاً: بمعرفة فرق الارتفاع بين النقطتين (S و P) والزوايا الشاقولية β_s ، يمكن حساب قيمة معامل الانكسار، باستخدام القانون التالي: [2]

$$K_s = 1 + (D \cdot \sin \beta_s + i - w - \Delta H) \cdot \frac{2r}{D_{ps}^2} \quad (7)$$

حيث:

D_{ps} : المسافة المائلة بين النقطتين S و P.

i: ارتفاع جهاز القياس.

w: ارتفاع الإشارة الجيوديزية فوق النقطة المرصودة.

ΔH : فرق الارتفاع المقيس بالتسوية الهندسية الدقيقة.

ثانياً: بالتوافق مع ما يقوله جوردان [6] (ومفاده أن الظروف الطبوغرافية والجوية المحيطة بالمرصد تلعب الدور الأكبر في تعيين قيمة معامل الانكسار الشاقولي)، يمكننا قبول نفس قيمة معامل الانكسار لكل الزوايا الشاقولية المقيسة ضمن المجموعة الواحدة، في كل دورة قياس.

ثالثاً: تعتمد القيمة النهائية لمعامل الانكسار على أنها المتوسطة الحسابية للقيم المحسوبة في دورات القياس المحددة.

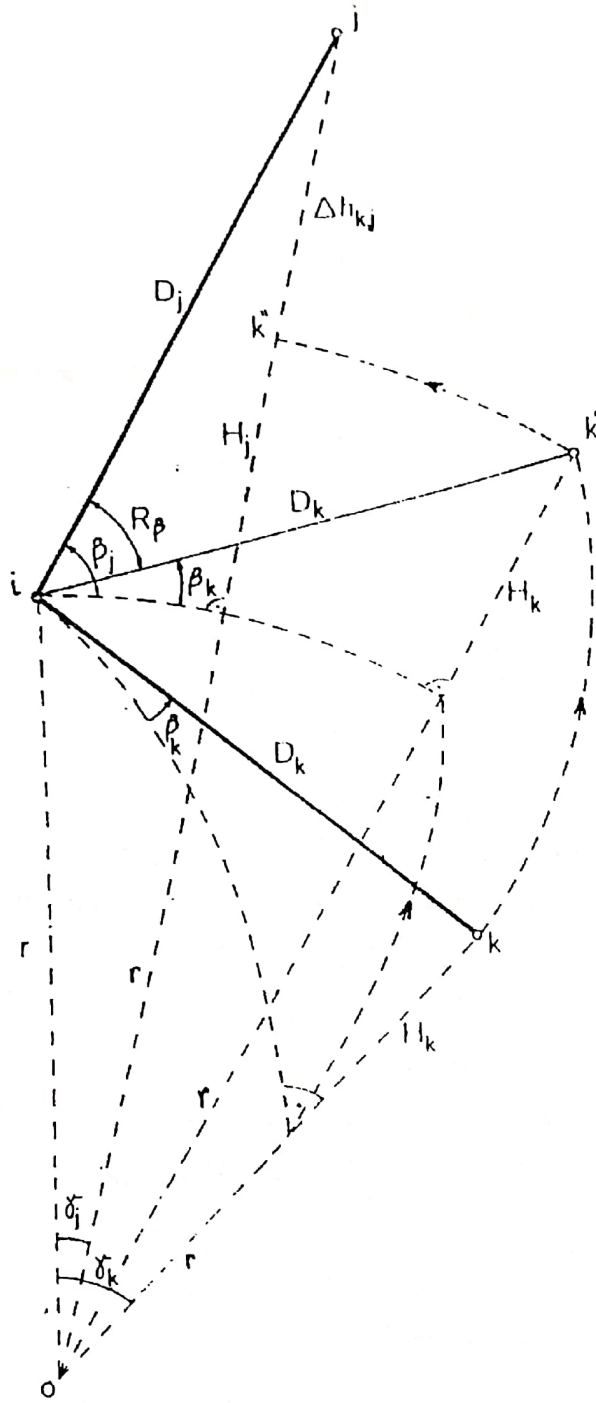
عملياً، من النادر أن نحتاج إلى هذا التفصيل لحساب التصحيحات للزوايا الشاقولية، وكذلك فإن الزمن اللازم لقياس الزوايا الشاقولية ضمن ثلاث دورات قياس (العدد الشائع من الزوايا) لكل مجموعة قصير جداً. فمثلاً خلال تنفيذ مجموعتنا لقياسات زوايا شاقولية ضمن شبكة المراقبة القياسية لسد السادس عشر من تشرين، على نهر الكبير الشمالي، كنا نستغرق أقل من ساعة واحدة. في هذه الحالة يكفي تحديد القيمة المتوسطة للزوايا المقيسة، ومن ثم حساب القيمة المتوسطة لمعامل الانكسار بالاعتماد على هذه القيمة. ثم نقوم بحساب تصحيحات الانكسار لكل زاوية شاقولية بشكل مستقل عن الزوايا الأخرى ضمن المجموعة الواحدة، باعتماد القانون:

$$\partial = \frac{D \cdot K}{2r} \quad (8)$$

3 - 2 - الطريقة الثانية:

تعتمد هذه الطريقة على قياس فروقات الزوايا الشاقولية R_p من النقاط.

نفترض هنا، كما في الطريقة الأولى، أن خطوط الرصد من النقطة i إلى النقطتين z و k (كما يظهر في الشكل - 3 -) تمر ضمن ظروف طبوغرافية متشابهة تقريباً، وأن الظروف الطبوغرافية والجوية عند المرصد I تلعب الدور في تعيين معامل الانكسار.



ارتفاعا النقطتين k, j : H_k, H_j

K' : مسقط النقطة k على المستوي المار من النقاط Oij

K'' : مسقط النقطة K' على الشاقول المار من النقطة j

الشكل (3) يبين خطي الرصد من المرصد i إلى النقطتين j و k .

وهكذا بقياس فروقات الزوايا الشاقولية.

$$R_{\rho} = \beta_K - \beta_J$$

نلاحظ إمكانية حذف أثر الانكسار الشاقولي، إذا كانت قيمته هي نفسها بالنسبة لكل من الزوايتين

β_K, β_J . وهذا يحدث فقط عندما يكون:

$$\partial\beta_J = \partial\beta_K \quad (9)$$

أي:

$$\frac{D_J \cdot k}{2r} = \frac{D_K \cdot k}{2r}$$

ومنه:

$$\Delta\partial\beta = \partial\beta_K - \partial\beta_J = \frac{k}{2r}(D_K - D_J) = \frac{k \cdot \Delta D}{2r} \quad (10)$$

في المعادلة (10) نجد أن تصحيحات الانكسار لفروقات الزوايا الشاقولية (وحتى لو تساوي قيم

معاملات الانكسارية k) ترتبط بأطوال خطوط الرصد. ويتحقق المعادلة:

$$\Delta\partial\beta = 0$$

عندما يكون لدينا:

$$\Delta D = 0$$

في الحياة العملية، ونظراً لأخطاء القياس المرتكبة، يمكن قبول قيمة مسموحة لـ $\Delta R \beta$ ، وبهذا

يمكن تحديد المجال الذي يسمح لـ ΔD بالتواجد ضمنه. فبفرض أن:

$$|\Delta\partial\beta| \leq 1 \quad (11)$$

$$K = 0.13$$

نجد بعد تطبيق العلاقة (10) أن:

$$|\Delta D| = 153.94m \quad (12)$$

وإذا أخذنا بالاعتبار عدم إمكانية حساب قيمة k بدقة كبيرة، يمكن تخفيض فرق المسافة المسموح

$|\Delta D|$. فبفرض أن الخطأ النسبي لحساب قيمة K هو:

$$\frac{mk}{k} \cong 0.5 \quad (13)$$

يكون:

$$|\Delta D|_{\max} \cong 100m \quad (14)$$

إذاً لتطبيق هذه الطريقة، يمكننا تصنيف مجموعة فروقات الزوايا الشاقولية المقيسة ضمن شرائح،

وذلك وفقاً لأطوال خطوط الرصد من المرصد إلى النقاط المرصودة، بحيث يتحقق لدينا الشرط (14) المذكور

أعلاه.

من ناحية أخرى، لا تسمح لنا معرفة فرق الزاوية الشاقولية R_{ρ} ، وطولي الضلعين D_K, D_J ،

بتحديد فرق الارتفاع بين النقطتين J و K ، لأنه من غير المحدد هنا توجيه نظام القياسات بالنسبة لنظام

الإحداثيات المقبول. إذاً لا يمكن استخدام القياس المسمى فرق الزوايتين الشاقوليتين R_{ρ} في مجال التسوية

المنثائية.

لا يمكننا بالنسبة للزاوية R_{β} تحديد ذراع يميني أو يساري كما في حال الزاوية الأفقية. لكن يمكننا

اصطلاح ما يلي:

– يأخذ فرق الزاويتين الشاقوليتين قيمة موجبة دوماً.

– تمثل z تلك النقطة التي تأخذ عندها الزاوية الشاقولية القيمة الأكبر.

– تمثل k تلك النقطة التي تأخذ عندها الزاوية الشاقولية القيمة الأصغر.

وبذلك يكون:

$$R_{\beta} = \beta_J - \beta_K \quad (15)$$

4 – التطبيق العملي:

لإظهار فعالية كل من الطريقتين المقترحتين في هذا البحث، قمنا بتطبيقها ضمن شبكة المراقبة القياسية المنفذة من قبلنا، ضمن حرم سد السادس عشر من تشرين في محافظة اللاذقية.

ضمن هذه الشبكة ثلاثية الأبعاد تم تصميم خطة القياس، بحيث تشمل قياسات للزاويا الشاقولية أو لفروقات الزوايا الشاقولية، من المراصد الخارجية إلى النقاط الممكنة للجزء البيتوني، وذلك بسبب صعوبة الوصول المباشر إليها .

قبل إخضاع قياسات الزوايا الشاقولية، أو فروقات الزوايا الشاقولية للمعالجة العددية، يجب اختزال هذه القياسات بالنظر لعدة ظواهر. من بين هذه الظواهر العديدة نذكر عدم توازي الشواويل وانكسار الأشعة. وقد بينا في بحث سابق كيفية حساب التصحيحات الاختزالية الناتجة عن عدم توازي الشواويل (قيد الطباعة والنشر في مجلة جامعة تشرين – سلسلة العلوم الهندسية)، ونبين هنا كيفية حساب التصحيحات الاختزالية الناتجة عن الانكسار الشاقولي للأشعة.

على سبيل المثال لا الحصر، سنأخذ مجموعة قياسات الزوايا الشاقولية المنفذة من المرصد D ، إلى النقاط a و b و c و e و f على الجزء البيتوني من السد. من بين هذه النقاط يمكن الوصول مباشرة إلى النقطة a فقط، أي يمكن استخدام التسوية الدقيقة لقياس ارتفاعها بالنسبة للنقطة D في كل دورة قياس. كما نلاحظ أن جميع النقاط متشابهة تقريباً من حيث الطبوغرافية والظروف الجوية المحيطة. نستطيع إذاً استخدام الطريقتين المقترحتين للتخلص من أثر الانكسار الشاقولي في قياس الزوايا الشاقولية أو فروقاتها.

ونورد ضمن الجدول (1) نتائج قياس الزوايا الشاقولية التي تمت في الفترة بين 1-3/10/1998م،

باستخدام جهاز تيودوليت من النوع Leica T-1800، و لقياس المسافات استخدمنا قانساً إلكترونياً من نوع

Leica DI-3000S. إذ إن دقة قياس الزاوية الشاقولية فيها $\pm 3''$ ، و الخطأ المتوسط للقياس الخطي

$$\pm (3\text{mm}+1\text{p.p.m})$$

الجدول رقم (1) : جدول قياسات الزوايا الشاقولية

تاريخ لقياس: 1998/10/3

ساعة لقياس: التاسعة

حالة الطقس: شمس

للمرصد: D.

المنطقة	I		II		III		IV		V		VI		VII		VIII		ملاحظات
	Gr	CC	Gr	CC	Gr	CC	Gr	CC	Gr	CC	Gr	CC	Gr	CC	Gr	CC	
a	007	68	70	68	74	76	68	76	007	68	72	68	72	72			
		68	70	68	78	76	68	76		68	74	68	72	74			
		68	70	68	76	76	68	76		68	78	68	76	78			7.68
b	007	76	68	76	72	70	76	70	007	76	70	76	68	66			
		76	70	76	68	76	70	76		76	66	76	68	66			
		76	70	76	68	76	70	76		76	66	76	68	66			
c	007	88	68	76	70	76	70	76	007	88	70	76	64	62			7.7
		88	72	76	70	76	70	76		88	66	76	64	62			68
		88	72	76	70	76	70	76		88	66	76	64	62			66
d	005	84	70	88	72	88	71	88	005	84	70	88	64	64			7.38
		84	72	88	72	88	71	88		84	66	88	64	64			68
		84	72	88	72	88	71	88		84	66	88	64	64			66
e		84	74	84	73	84	72	84		84	66	84	68	66			
		84	74	84	73	84	72	84		84	66	84	68	66			
		84	74	84	73	84	72	84		84	66	84	68	66			5.3
f	005	93	20	93	20	95	20	95	005	93	20	95	18	16			
		93	24	93	22	95	20	95		93	16	95	18	16			
		93	26	93	14	95	14	95		93	18	95	18	18			5.9
	93	26	93	18	95	16	93		93	18	95	18	18				320

ملاحظات:

4 - 1 - استخدام الطريقة الأولى:

لحساب قيمة معامل الانكسار قمنا بقياس فرق الارتفاع بين المرصد D، والنقطة المرصودة a، باستخدام التسوية الهندسية الدقيقة.

ويبين الجدول (2) نتائج القياسات التي تمت باستخدام جهاز نيقو Ni 2.

الجدول (2): جدول قياسات التسوية الدقيقة بين المرصد D والنقطة المرصودة a.

رقم المحطة	النقطة المرصودة	المسافة حتى العبرا	القرارات على الميرا		الفروقات I - II	القيم المتوسطة لفروقات الارتفاعات		ملاحظات
			المسطرة I	المسطرة II		+	-	
			خلفية أمامية	خلفية أمامية				
			فروق الارتفاعات					
1	D 101	27.5 27.0	36502	6352	30150	0.5172		
			31329	1180	30149			
			0.5173	0.5172				
2	101 102	22 23	39818	9667	30151		0.3971	
			358470	5697	30150			
			3971	0.3970				
3	102 103	30 31	56612	26460	30.152	2.4032		
			32579	2428	30151			
			2.4033	2.4032				
4	103 104	28 28.5	55030	24882	30148	2.3811		
			31220	1071	30149			
			2.3810	2.3811				
5	104 105	30 31	56782	29632	30150	2.8820		
			30962	812	30150			
			2.8820	2.8820				
6	105 106	20 20.5	56392	26241	30151	2.2182		
			34209	4059	30150			
			2.2183	2.1182				
7	106 107	10 10	56418	26269	30149	1.8211		
			38208	8058	30150			
			1.8210	1.8211				
8	107 108	11 11.5	56320	26169	30151	1.3722		
			42598	12446	30152			
			1.3722	1.3723				
9	108 109	8 8.5	58920	28771	30149	2.8102		
			30819	669	30150			
			2.8101	2.8102				
10	109 110	5.5 6	58815	28665	30150	2.7002		
			31813	1663	30150			
			2.7002	2.7002				
11	110 111	7.0 7.5	58004	27853	30151	2.7712		
			30293	141	30152			
			2.7711	2.7712				
12	111 112	4.75 5	58162	28013	30149	2.5003		
			33158	3010	30148			
			2.5004	2.5003				
13	112 113	4.5 4.75	56220	26069	30151	2.5021		
			31198	1048	30150			
			2.5022	2.5021				
14	113 114	4.75 4.75	57090	26940	30150	2.5014		
			31985	1834	30151			
			2.5015	2.5016				
15	114 115	4.75 4.75	58186	28035	30151	2.5093		
			33094	2942	30152			
			2.5092	2.5093				
18	117 118	5 4.5	56918	26767	30149	2.5124		
			31878	1728	30150			
			2.5040	2.5039				
19	118 a	8.8 9.0	38162	8012	30150		0.9940	
			48102	17952	30150			
			0.9940-	0.9940-				

$$\sum = 39.4162 - 1.3911 = 38.0251m$$

باستخدام القانون (7) يمكن حساب قيمة k كما يلي:

$$k = 1 + (326.974 \cdot \sin 7.6875 + 0.380 - 1.750 - 38.0251) \cdot \frac{2.6370000}{(326.974)^2}$$

$$k = 0.136$$

$$m_k^2 = \frac{4r^2}{D^4} (\sin^2 \beta m_D^2 + D^2 \cdot \cos^2 \beta m_\rho^2 + m_{\Delta H}^2)$$

$$m_D = \pm 3.3 \text{ mm}$$

$$m_\rho = \pm 0.87^{\text{cc}}$$

$$m_{\Delta H} = \pm 0.1 \sqrt{n} = \pm 0.44 \text{ mm}$$

$$m_k = \pm 0.088 \Rightarrow \frac{m_k}{k} = 65\%$$

باستخدام القيمة السابقة المعممة لمعامل الانكسار $k = 0.13$ ، يمكن حساب التصحيحات الاختزالية الناتجة عن الانكسار للزوايا الشاقولية. ويحوي الجدول (3) نتائج هذه الحسابات:

الجدول (3) يبين التصحيحات والزوايا المختزلة.

الزوايا المقاسة	$D(m)$	$\partial\beta^{\text{(cc)}}$	القيمة المختزلة للزاوية	وسطى الزوايا المقاسة
β_{Da}	326.974	2.2	7.6875	7.6873
β_{Db}	323.810	2.2	7.7670	7.7668
β_{Dc}	318.904	2.2	7.8870	7.8868
β_{De}	327.060	2.2	5.8473	5.8471
β_{Df}	322.334	2.2	5.9332	5.933

4 - 2 - استخدام الطريقة الثانية:

بالتوافق مع الاصطلاحات المقبولة في هذا البحث، تكون قيم فروقات الزوايا موجبة دوماً. وبالتالي باعتبار النقطة a على أنها نقطة ابتدائية، تتشكل قياسات فروقات الزوايا الشاقولية $R_\rho = \beta_j - \beta_k$ كما في الجدول رقم (4):

الجدول (4): يبين الفروقات الأعظمية بين المسافات المائلة.

فرق الزاوية	D_J	D_K	قيمة القياس	$ \Delta D $
$R_{\beta_{ab}}$	323.810	326.974	0.0795	3.164 m
$R_{\beta_{bc}}$	318.904	326.974	0.1995	8.07m
$R_{\beta_{ca}}$	326.974	327.060	1.8402	0.086 m
$R_{\beta_{cb}}$	326.974	322.334	1.7543	4.64m

نلاحظ من الجدول السابق أن الفرق الأعظمي بين المسافات المائلة بين المرصد D والنقاط المرصودة، يبلغ القيمة 8.07m، وهي أصغر بكثير من الفرق الأعظمي المسموح والمحدد بالشرط (41). ولا بد من الذكر هنا، أن استخدام قياس فروقات الزوايا الشاقولية لإيجاد تشوهات المنشآت الهندسية، يتطلب المحافظة على خطة قياس موحدة ضمن شبكة المراقبة الجيوديزية.

5 - النتائج:

من مجمل الدراسات النظرية والأعمال الحقلية المنفذة في سياق هذا البحث، يمكن استخلاص ما

يلي:

- يجب اختزال الزوايا الشاقولية المقيسة بالنظر إلى أثر الانكسار الشاقولي لشعاع الرصد قبل مرحلة المعالجة العددية للقياسات المنفذة.
- يمكن استخدام الطريقتين المقترحتين بنجاح.
- ويفضل استخدام الطريقة الثانية (قياس فروقات الزوايا الشاقولية) عند توفر إمكانية المحافظة على هندسية موحدة، وخطة قياس متكررة ضمن دورات القياس المتتالية. وفي الأحوال الأخرى يمكن استخدام الطريقة الأولى.

REFERENCES

المراجع

- [1] Lazzarini T.: Geodezja "Geodezyjna Osnowa Szczegotowa". Warszawa 1990.
- [2] د. فحصة إيداد. الجيوديزيا (2)، مطبوعات جامعة تشرين 1998 - 1999م.
- [3] Laudyn I.: Cwiczenia z Geodezji II (Niwelacja Trygonometryczna). Warsazawa 1990.
- [4] Holejko K.: Precyzyjne Elektroniozne Pomiary Odleglosci i Katow. Warszawa 1988.
- [5] Dyson J.: "Correction for Atmospherie Refraction in Surveying and Alinement." *Nature* No 216. London 1967.
- [6] Muskett J.: *Site Surveying*. Second Edition 1995.
- [7] Bannister A., Baker R. : *Solving Problems in Surveying* 1994.
- [8] Tengestrom E.: *Elimination of Refraction in Vertical Angle Measurements*. Wien 1967.
- [9] Russell C. Brinker and Roy Minnick: "The Surveying Handbook." International Thomson Publishing Company 1994.